

บทที่ 2

เอกสารและงานวิจัยที่เกี่ยวข้อง

พลศาสตร์โคแกรีนต์ของอนุภาคเคอ่อน (Covariant kaon dynamic)

สมบัติของอนุภาคเคอ่อนในสสารธาตุอนที่ความหนาแน่นมีความสำคัญต่อการทำความเข้าใจ ทั้งการคืนสภาพของสมมาตรเชิงไคแกรลและสมบัติของสสาร นิวเคลียร์ที่มีความหนาแน่นสูง เนื่องจากมีที่มาจากการสัมพทธภาพ สนามเฉลี่ยของเคอ่อนมีโครงสร้างเป็นแบบเวกเตอร์-สเกลาร์-สัมพทธภาพปกติ (Typical relativistic-scalar - vector - type) สำหรับนิวคลีอันจะมีโครงสร้างที่มาจากการสัมพทธ์ความตั้มเชิงชาตุรอน (Quantum Hadron Dynamic, QHD) การแยกของสนามเฉลี่ยทำได้โดยการรวมส่วนของสเกลาร์เข้าในมวลยังผลและส่วนของเวกเตอร์เข้าในโมเมนตัมยังผล ซึ่งนำไปสู่รูปแบบอนุภาคกึ่งอิสระในสสารนิวเคลียร์

จากรากฐานเจียนเชิงไคแกรล สมการสนามสำหรับ K^\pm หาได้จากการออยเลอร์-ลา ภาน ดังนี้

$$\left[\partial_\mu \partial^\mu \pm \frac{3i}{4f_\pi^{*2}} j_\mu \partial^\mu + \left(m_K^2 - \frac{\sum_{KN}}{f_\pi^{*2}} \rho_s \right) \right] \phi_{K^\pm}(x) = 0 \quad (2.1)$$

ในที่นี้การประมาณค่าแบบสนามเฉลี่ยได้ถูกนำมาใช้โดย ρ_s คือ ความหนาแน่นบารีอนเชิงสเกลาร์ (Baryon scalar density) j_μ คือ กระแสบารีอันแบบเวกเตอร์สมมติ m_k^2 คือมวลของเคอ่อน ϕ_{K^\pm} คือสนามสเกลาร์ของอนุภาค K^- และ K^+ และ f_π^{*2} คือ ค่าคงตัวการสลายตัวของไฟโอนในตัวกลาง และกำหนดศักย์เคอ่อนแบบเวกเตอร์เป็น

$$V_\mu = \frac{3}{8 f_\pi^{*2}} j_\mu \quad (2.2)$$

ทำให้สามารถเขียนสมการที่ (2.1) ได้เป็น

$$\left[(\partial_\mu \pm i V_\mu)^2 + m_K^{*2} \right] \phi_{K^\pm}(x) = 0 \quad (2.3)$$

ดังนั้น สมมูลเวกเตอร์ถูกใส่โดยการคู่ควบคุณอยสุด (Minimal coupling) เข้าไปในสมการ 'เคล็น-กอร์ดอน (Klein-Gordon equation) และจาก [29, 31, 32, 33] สามารถเขียนมวลยังผลของเคอตอนได้

$$m_K^* = \sqrt{m_K^2 - \frac{\sum_{KN}}{f_\pi^{*2}} \rho_s + V_\mu V^\mu} \quad (2.4)$$

เนื่องจากลักษณะเฉพาะของสารแบบบีชอน (spin 1) การคู่ควบของสมมูลเชิงสเกลาร์ กับมวลจะไม่เป็นแบบเชิงเส้นเหมือนกับบาริอัน แต่จะอยู่ในรูปกำลังสองและมีเทอมที่เกี่ยวเนื่อง กับสมมูลเวกเตอร์เพิ่มเติมด้วย มวลของอนุภาคยังผลกึ่งอิสระนิยามโดยสมการ (2.4) เป็นสเกลาร์แบบโลเรนซ์ (Lorentz scalar) และมีค่าตรงกับมวลของ K^+ และ K^- ในสารนิวเคลียร์ที่นิ่ง องค์ประกอบทางตำแหน่งของศักย์เวกเตอร์จะไม่มี $\nabla = 0$ และสมการที่ (2.3) จะถูกลดรูปลงไป ดังแสดงในเอกสารอ้างอิง [34, 35] อย่างไรก็ได้โดยทั่วไปแล้วสมการที่ (2.3) จะอธิบายสมบัติ โลเรนซ์ที่ถูกต้อง ซึ่งสิ่งนี้จะไม่สามารถเห็นได้จากการคิดสมมูลเชิงเคอตอนตามปกติ

สมการโคลาเรียนต์ของการเคลื่อนที่หาได้ในขีดจำกัดแบบฉบับ (Classical limit) มาจาก สมการการนำพาแบบสัมพัทธภาพ (Relativistic transport equation) ของเคอตอน ซึ่งได้มาจากการ สมการที่ (2.3) ในทำนองเดียวกับสมการสัมพัทธภาพของบาริอัน จะได้เป็น

$$\frac{dq^\mu}{d\tau} = \frac{k^{*\mu}}{m_K^*}, \quad \frac{dk^{*\mu}}{d\tau} = \frac{k_v^*}{m_K^*} F^{\mu\nu} + \partial^\mu m_K^* \quad (2.5)$$

ในที่นี่ $q^\mu = (t, \mathbf{q})$ เป็นพิกัดในรูปปริภูมิ Minkowski และ $F^{\mu\nu} = \nabla^\mu V^\nu - \nabla^\nu V^\mu$ คือ เทนเซอร์ความแรงของสมมูล (Field strength tensor) ของ K^+ สำหรับ K^- สมมูลเวกเตอร์เปลี่ยน เครื่องหมาย ส่วนสมการเคลื่อนที่จะยังเหมือนเดิม เพียงแต่เปลี่ยน $-F^{\mu\nu}$ แทน $F^{\mu\nu}$ โครงสร้างของ สมการ (2.5) อาจดูง่ายขึ้นหากพิจารณาเฉพาะองค์ประกอบทางตำแหน่ง

$$\frac{d\mathbf{k}^*}{dt} = -\frac{m_K^*}{E^*} \frac{\partial m_K^*}{\partial \mathbf{q}} \mp \frac{\partial V^0}{\partial \mathbf{q}} \pm \frac{\mathbf{k}^*}{E^*} \times \left(\frac{\partial}{\partial \mathbf{q}} \times \mathbf{V} \right) \quad (2.6)$$

เมื่อเครื่องหมายข้างบนใช้สำหรับ K^+ และเครื่องหมายข้างล่างใช้สำหรับ K^- เทอมที่เป็น ลักษณะกับองค์ประกอบทางตำแหน่งของศักย์เวกเตอร์ ซึ่งกับโมเมนตัมและเกี่ยวข้องกับแรง

ลอเรนซ์ เทอมสุดท้ายของสมการที่ (2.6) โดยแรงนี้จะขึ้นกับความเร็ว ($v = k^*/E^*$) ซึ่งเป็นลักษณะของพลศาสตร์สัมพัทธภาพที่มีสนามเวกเตอร์มาเกี่ยวข้อง
ถ้าสมการการเคลื่อนที่ได้มาจากศักย์สติตด้วย

$$U(\rho, \mathbf{k}) = \omega(\rho, \mathbf{k}) - \omega_0(\mathbf{k}) = \sqrt{\mathbf{k}^2 + m_k^2 - \sum_{f_\pi^{*2}}^{KN} \rho_s + V_0^2 \pm V_0 - \sqrt{\mathbf{k}^2 + m_k^2}} \quad (2.7)$$

ซึ่งเทอมที่มีลักษณะของแรงลอเรนซ์ (LF) จะหายไป การพิจารณาแบบไม่ໂຄແວເຮືອນດີຈະ
ຖຸກກຳນົດໂດຍໂມເມນຕົມແບບບຸນຸ້ຕີ (Canonical momenta, \mathbf{k}) ແທນໂມເມນຕົມແບບພລສາສຕ່ຣ
(Kinetic momenta, \mathbf{k}^*) ໂດຍສາມາດກຳນົດໄດ້

$$\frac{dk}{dt} = - \frac{m_k^*}{E^*} \frac{\cancel{m}_k^*}{\cancel{q}} m \frac{\cancel{V}^0}{\cancel{q}} \pm \mathbf{v}_i \frac{\cancel{V}_i}{\cancel{q}} \quad (2.8)$$

ເນື່ອຄວາມເຮົວຂອງເຄອນ $\mathbf{v} = \mathbf{k}^* / E^*$

ເພື່ອໃຫ້ສອດຄລ້ອງກັບກາຮອນນຸ້ວັກຊີພລັງຈານແລະໂມເມນຕົມ ເຈົ້າຈະເຂົ້າເຖິງເຈື່ອນໄຂຮະດັບຂັ້ນມວລ
(Mass-shell condition) (2.3) ໃນເກອມຂອງໂມເມນຕົມແບບບຸນຸ້ຕີ

$$0 = k_\mu^{*2} - m_K^{*2} = k_\mu^2 - m_K^2 - 2m_k U_{opt} \quad (2.9)$$

ສຶ່ງ

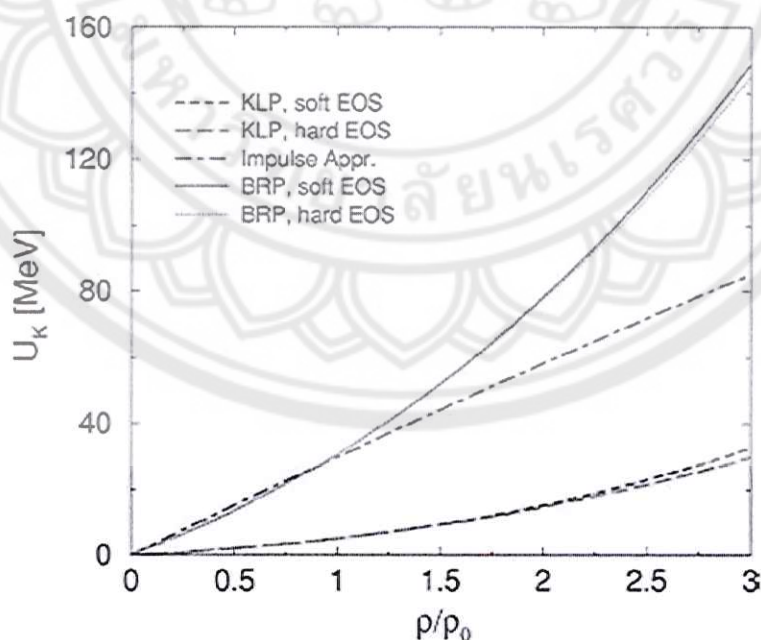
$$U_{opt}(\rho, \mathbf{k}) = - \sum_S + \frac{1}{m_K} k_\mu V^\mu + \frac{\sum_S^2 - V_\mu^2}{2m_K} \quad (2.10)$$

ໃນທີ່ນີ້ເຈົ້າເຮົາເວັບ $S_s = m_K^* - m_K$ ວ່າພລັງຈານຮຸມໃນຕົວຂອງເຄອນແບບສເກລາຣ໌ (Total scalar kaon self-energy) U_{opt} ອີງ ສັກຍົ່ງເສັງ (Optical potential) ແລະເນື່ອງຈາກ U_{opt}
ເປັນ ສເກລາຣ໌ແບບລອເຣນີ້ທີ່ຖຸກຜົນວັກເຂົ້າໄປໃນມວລຍັງຜລ

$$\tilde{m}_K(\rho, \mathbf{k}) = \sqrt{m_K^2 + 2m_K U_{opt}(\rho, \mathbf{k})} \quad (2.11)$$

โดยนิยามแล้ว \tilde{m}_K เป็นสเกลาร์ แตกต่างจาก m_K^* ซึ่งเทียบได้กับมวลไดราก (Dirac mass) ในกรณีของนิวเคลียน \tilde{m}_K นั้นจะรวมเอาศักย์เชิงแสงทั้งหมด (Full optical potential) และ สอดคล้องกับพลังงาน ω ที่ไม่ เมนตัมเป็นศูนย์

จากการประมาณค่าด้วยพารามิเตอร์ของ Brown กับ Rho พบว่า ในพจน์ของ Σ_{KN} ในสมการ (2.7) จะมีค่าเท่ากับ 450 MeV และค่า $f_\pi^{*2} = 0.6 f_\pi^2$ ซึ่งพารามิเตอร์ดังกล่าวได้รับการตรวจสอบโดยเอกสารอ้างอิง [9, 31, 36, 37] นอกจากนี้การประมาณค่าด้วยพารามิเตอร์ของ Ko กับ Li จะใช้ค่าในพจน์ของ Σ_{KN} ในสมการ (2.7) จะมีค่าเท่ากับ 350 MeV และค่า $f_\pi^{*2} = f_\pi^2$ โดยค่าพารามิเตอร์นี้ได้รับการตรวจสอบจากเอกสารอ้างอิง [15] การประมาณค่าด้วยพารามิเตอร์ที่แตกต่างกันนี้จะแสดงในภาพ 1 ค่าศักย์ที่ประมาณค่าด้วยพารามิเตอร์ของ Brown กับ Rho ที่รวมอยู่กับสมการสถานะแบบอ่อน (เส้นทึบดำ) และสมการสถานะแบบแข็ง (เส้นทึบเทา) มีค่ามากกว่าค่าศักย์ที่ประมาณค่าด้วยพารามิเตอร์ของ Ko กับ Li (เส้นประแบบลั่นและเส้นประแบบยาว) ค่าศักย์เคอน-นิวเคลียน (K^+N) เมื่อเทียบกับความหนาแน่น ($\rho / \rho_0 = 1$) ค่าศักย์ที่ได้ประมาณค่าด้วยพารามิเตอร์ของ Brown กับ Rho มีค่าเท่ากับ 30 MeV ส่วนค่าศักย์ที่ได้ประมาณค่าด้วยพารามิเตอร์ของ Ko กับ Li มีค่าเท่ากับ 5 MeV ซึ่งในการทดลองนี้จะใช้ค่าศักย์ที่ได้ประมาณค่าด้วยพารามิเตอร์ของ Brown กับ Rho



ภาพ 1 ศักย์เคอนในด้วยกลา (K⁺N) เทียบกับความหนาแน่น [29]

แบบจำลองพลศาสตร์ควอนตัมเชิงโมเลกุล (Quantum Molecular Dynamics, QMD)

แบบจำลองพลศาสตร์ควอนตัมเชิงโมเลกุล เป็นแบบจำลองสำหรับศึกษาการชนของไอออนหนัก ที่พัฒนาจากแบบจำลองพลศาสตร์เชิงโมเลกุลแบบฉบับ (Classical molecular dynamics) [38, 39] ซึ่งแบบจำลองนี้เป็นทฤษฎีของระบบหกายน้ำ (N-body theory) โดยข้อมูลทั้งหมดของระบบสามารถคำนวณได้จากการหาผลเฉลยของสมการลูย์วิลแบบหกายน้ำ (N-body Liouville equation)

วิธีการหาผลเฉลยสามารถทำได้หลายวิธี หากพิจารณาแนวคิดของ Boltzmann-Uhlmannbeck-uehling (BUU) หรือของ Vlasov- Uhlmannbeck-uehling (VUU) ซึ่งเป็นการคิดตามทฤษฎีของหกายน้ำอย่างแท้จริง โดยเราจะต้องคิดตามตำแหน่งและโมเมนตัมของอนุภาค และคำนวณการวิวัฒนาทางเวลา (Time evolution) ของเมตริกซ์ความหนาแน่นของหกายน้ำ (N-body density matrix) และใช้วิธีการคำนวณเชิงตัวเลขเพื่อที่จะหาค่าเฉลี่ยของทุกๆ องค์ประกอบ (Ensemble) เช่น หลัมพันธ์การผสม (Mixing correlation) และการซึ้งๆ ลงๆ (Fluctuation) ระหว่างแต่ละองค์ประกอบ อย่างไรก็ตาม ความสามารถในการทำนายผลต่างๆ ของแนวคิดแบบ BUU และ VUU จะถูกจำกัดแค่เพียงการลังเกตหกายน้ำที่ละอนุภาคเท่านั้น

ในแบบจำลอง QMD จะมีลักษณะสำคัญบางประการทางควอนตัมได้ถูกรวบเข้าไป เช่น การชนระหว่างนิวเคลียนจะเป็นแบบปิดพอลี (Pauli blocked) กล่าวคือการชนจะเกิดขึ้นได้ก็ต่อเมื่อในบริภูมิเฟส มีสถานะควอนตัมที่ยังว่างอยู่ ทำให้นิวเคลียนที่กระเจิงไปสามารถเข้าครอบครองได้ นอกจากนั้น 例外พลิจูดการกระเจิงจะไม่สามารถบ่งบอกถึงสัมพันธ์ระหว่างมุมกระเจิงพารามิเตอร์การกระทบได้ นั่นคือเราจะทราบเพียงแค่ว่ากำลังสองของ例外พลิจูดการกระเจิงเป็นค่าเดียวกับการแยกแยะความน่าจะเป็น (Probability distribution) เท่านั้น ส่วนมุมกระเจิงและการวางกันการชนซึ่งนำนิวเคลียนในบริภูมิเฟสที่มีการเข้าครอบครองบางส่วนจะถูกคิดโดยวิธีทางสถิติ ซึ่งการคิดแบบนี้ทำลายสมบัติการผันกลับได้ทางเวลา (Time reversibility) ของสมการแบบฉบับ อย่างไรก็ได้แบบจำลองนี้ยังให้ผลเฉลยของระบบหกายน้ำโดยไม่ลดรูปเป็นแบบหกายน้ำเดียวและให้ข้อมูลของการวิวัฒนาทางเวลาของหลัมพันธ์ทั้งหมด

แบบจำลองระดับจุลทรรศน์เหล่านี้มีลักษณะเป็นแบบคลวน (Chaotic) ซึ่งจุดสองจุดในบริภูมิเฟสที่อยู่ติดกันในบริภูมิเฟสที่มีมิติ $A_T + A_p$ จะสู่ออกแบบซึ่งกำลังโดยเป็นฟังก์ชันของเวลา นอกจากราคาในระบบควอนตัมเรายังไม่สามารถกำหนดค่าที่แน่นอนของพารามิเตอร์การกระทบให้เที่ยงกว่า $D_b > h/D_p$ ดังนั้นแทนที่จะแบร์พารามิเตอร์การกระทบ บนบริเวณนี้เราจะเริ่มต้นด้วยการเลือกตำแหน่ง และโมเมนตัมของแต่ละอนุภาคเป็นแบบสุ่ม ซึ่งการจำลองสถานการณ์การ

ชนของไอออนหนัก โดยใช้แบบจำลอง QMD นั้นจะมี 2 ส่วนที่สำคัญคือ การเริ่มต้นของนิวเคลียนที่เข้าชนกับนิวเคลียนที่เป็นเป้าหมายและการวิวัฒนาทางเวลาของระบบ $A_T + A_p$

การเริ่มต้น

เมื่อเปรียบเทียบระบบควบคุมที่ขึ้นกับเวลาของไฮาร์ทีพีอก (Time-dependent Hartree-Fock, TDHF) กับระบบสนามเฉลี่ยแบบฉบับของวลาซอฟ (Classical Vlasovmean field system) เราพบว่า สมการวิวัฒนาทางเวลาของความหนาแน่นทางนิวเคลียร์สำหรับพลังงานของลำที่มากกว่า 25 MeV ต่อนิวเคลียนที่มีค่าเกือบเหมือนกัน ทั้ง ๆ ที่สถานะเริ่มต้นของหั้งสองระบบแตกต่างกัน โดยที่ความหนาแน่นเริ่มต้นของ TDHF คำนวณจากสแลเตอร์ดีเทอร์มีแนนต์ (Slater determinant) ในขณะที่ของเวลาซอฟเริ่มจากการพิจารณาอนุภาคที่เป็นจุดกระจายอยู่แบบสุ่มในทรงกลมรัศมี $r = 1.12 A^{1/3}$ fm สอดคล้องกับความหนาแน่นสารทางนิวเคลียร์ปกติที่ 0.17 nucleon/fm³ จากผลที่ได้ทำให้สามารถสรุปได้ว่าที่พลังงานนี้รายละเอียดของฟังก์ชันคลื่นมีผลเพียงเล็กน้อยต่อการวิวัฒนาทางเวลาของสมบัติโดยรวมของสารโดยเฉพาะอย่างยิ่งกับอนุภาคเพียงหนึ่งอนุภาคที่เราทำการสังเกต

ในแบบจำลอง QMD แต่ละนิวเคลียนจะแทนด้วยสถานะอาพันธ์ (Coherent state) ในรูปของ (ψ, \hbar และ $c=1$)

$$y(r, p_0, t) = \frac{\exp \left(\frac{i}{\hbar} p_0 \cdot (r - r_0) \right)}{(2\pi L)^{3/4}} e^{- (r - r_0)^2 / 4L} \quad (2.12)$$

เมื่อ r_0 เป็นศูนย์กลางที่ขึ้นกับเวลาของกลุ่มคลื่นแบบแก๊ส (Gaussian wave packet) ในปริภูมิพิกัด (Coordinate space) โดยความกว้างของสถานะอาพันธ์จะเริ่มขึ้นเป็นฟังก์ชันของเวลาถ้ามีการแผ่ด้วยสมการเซอเดิงเบอร์แบบอิสระ ในแบบจำลอง QMD ความกว้าง L เป็นค่าคงที่ หมายถึง เราไม่มีอนุญาตให้มีการกระจายของฟังก์ชันคลื่น มิฉะนั้นทั้งนิวเคลียร์จะมีการกระจายในปริภูมิพิกัดโดยฟังก์ชันของเวลา ค่า $L = 1.08$ fm² สอดคล้องกับรากกำลังสองเฉลี่ยของรัศมีนิวเคลียน เพื่อที่จะให้ใกล้เคียงกับทฤษฎีการขนส่งแบบฉบับ (Classical transport theory) และเราจะให้ความหนาแน่นแบบวิกเนอร์ (Wigner density) แทนที่ฟังก์ชันคลื่น โดยการแปลงแบบวิกเนอร์ (Wigner transformation) ของสถานะอาพันธ์ คือ รูปแบบแก๊สในปริภูมิพิกัดและไมemenตั้ม นั่นคือ

$$\begin{aligned}
 f(\mathbf{r}, \mathbf{p}, t) &= \frac{1}{(2\pi)^3} \int e^{-\mathbf{p} \cdot \mathbf{r}_{12}} \psi\left(\frac{\mathbf{r} + \mathbf{r}_{12}}{2}, t\right) \psi^*\left(\frac{\mathbf{r} - \mathbf{r}_{12}}{2}, t\right) d^3 \mathbf{r}_{12} \\
 &= \frac{1}{(\pi)^3} \exp\left[-(\mathbf{r} - \mathbf{r}_0)^2 / 2L - (\mathbf{p} - \mathbf{p}_0)^2 \cdot 2L\right]
 \end{aligned} \tag{2.13}$$

ความหนาแน่นวิกเนอร์แบบหลายวัตถุ เป็นผลคูณตรง (Direct product) ของความหนาแน่น วิกเนอร์ของสถานะอาพันธ์หลายสถานะ

$$f^N(\mathbf{r}_1, \dots, \mathbf{r}_N; \mathbf{p}_1, \dots, \mathbf{p}_N; t) = \prod_{i=1}^N \frac{1}{(\pi)^3} e^{-(\mathbf{r}_i - \mathbf{r}_{i0})^2 / 2L - (\mathbf{p}_i - \mathbf{p}_{i0})^2 \cdot 2L} \tag{2.14}$$

การแทนวิกเนอร์ (Wigner representation) ของกลุ่มคลีนแบบเกาส์จะต้องสอดคล้องตามหลักความไม่แน่นอน $\Delta r_x \Delta p_x = \hbar/2$ โดยความหนาแน่นในปริภูมิพิกัดสามารถหาได้จากการซินทิกรัลโมเมนต์บนความหนาแน่นวิกเนอร์

$$\begin{aligned}
 \rho(\mathbf{r}, t) &= \sum_{i=1}^N \delta(\mathbf{r} - \mathbf{r}_i) \int f^N(\mathbf{r}_1, \dots, \mathbf{r}_N; \mathbf{p}_1, \dots, \mathbf{p}_N; t) d^3 \mathbf{p}_1 \dots d^3 \mathbf{p}_N d^3 \mathbf{r}_1 \dots d^3 \mathbf{r}_N \\
 &= \sum_i^N \frac{1}{(2\pi L)^{3/2}} e^{-(\mathbf{r} - \mathbf{r}_{i0})^2 / 2L}
 \end{aligned} \tag{2.15}$$

การเลือกคูณย์ของ $A_T + A_P$ แบบเกาส์โดยวิธีสุ่มในปริภูมิพิกัดและเวลา นั้นไม่พอเพียง ที่จะรักษาเสถียรภาพของนิวเคลียลมีด้านเพียงพอ เนื่องจาก การขึ้นๆลงๆ จะมีเลขสุ่มจำนวนจำกัดที่ไม่สร้างสถานะพื้นของนิวเคลียล์สแต่จะสร้างสถานะที่ถูกกระตุ้นที่สลายตัวโดยปลดปล่อยนิวเคลียล์ เวลาที่นิวเคลียล์แสดงถึงลิมิตบนของพลังงานที่สถานะถูกกระตุ้นจะคงไว้ได้

สถานะเฉพาะ (Eigenstates) ของไฮเมิลไดเนียนจะสอดคล้องกับหลักความไม่แน่นอน ความแปรปรวนของ $\Delta x \Delta p_x$ ของฟังก์ชันเฉพาะ (Eigenfunction) สองค่าที่อยู่ใกล้กันจะแตกต่างกัน $\hbar/2$ ก้าวคือแต่ละระดับจะเติมปริมาณของ \hbar^3 ในปริภูมิของกาศ ถ้าระบบอยู่ในสถานะพื้น ปริภูมิเฟสจะถูกเติมอย่างหนาแน่นจนถึงค่าสูงสุดในปริภูมิพิกัดและเวลาโดยไม่มีช่องว่างเหลืออยู่ ซึ่งนี่ก็คือสมบัติของสถานะพื้นนั้นเอง การเริ่มต้นของสถานะพื้นของนิวเคลียล์ A นั้นก่อนอื่นเราต้องกำหนดตำแหน่งของนิวเคลียล์ในทรงกลมรัศมี $r = 1.12 A^{1/3} \text{ fm}$ โดยเลือกเลขสุ่มที่มีระยะระหว่างศูนย์กลางน้อยของสองนิวเคลียล์ที่ไม่น้อยกว่า $r_{\min} = 1.5 \text{ fm}$ ในขั้นต่อไปเป็นขั้น

กำหนดศักย์เฉพาะที่ (Local potential) $U(r)$ ที่เกิดจากนิวคลีอันอื่นที่ศูนย์กลางแบบเกาส์ โดยไม่ เมนตัม ของเฟอร์มิแบบเฉพาะที่ (Local Fermi momentum) จะถูกกำหนดโดยความสัมพันธ์ $p_F(\mathbf{r}_{i0}) = \sqrt{2mU(\mathbf{r}_{i0})}$ เมื่อ $U(\mathbf{r}_{i0})$ คือ พลังงานศักย์ของอนุภาคตัวที่ i ขั้นตอนสุดท้าย ไม่ เมนตัมของทุกอนุภาคจะถูกสูญค่าระหว่างศูนย์ถึงค่าไม่ เมนตัมของเฟอร์มิแบบเฉพาะที่ ทั้งนี้จะไม่ใช้ค่าสูงของอนุภาคคู่ใดๆ ที่ใกล้กันน้อยกว่า $(\mathbf{r}_i - \mathbf{r}_j)^2 (\mathbf{p}_i - \mathbf{p}_j)^2 = d_{min}^2$ ซึ่งโดยปกติแล้วมีเพียงหนึ่งในห้ามีน่องการเริ่มต้นเท่านั้นที่สามารถนำมาใช้ได้ ภายใต้เงื่อนไขเหล่านี้ อย่างไรก็ได้เวลาที่ใช้ในการคำนวนบันคุมพิวเตอร์ยังสั้นกว่าเมื่อเทียบกับเวลาของการคำนวนการแพร่ขยาย

การแพร่กระจาย (Propagation)

นิวเคลียสที่ได้กำหนดเมื่อไหร่ การเริ่มต้นไว้แล้วจะถูกเพิ่มความเร็วให้วิ่งเข้าหากันโดยใช้ความเร็วของศูนย์กลางมวลแบบจลศาสตร์สัมพันธภาพ (Relativistic kinematics) โดยศูนย์กลางของอนุภาคที่เข้าชนและอนุภาคเป้าหมายจะเคลื่อนที่ตามแนววิถีคูลอมบ์จนถึงระยะห่างไม่เกิน 2 fm ซึ่งวัดจากผิวของอนุภาคเข้าชนถึงผิวของอนุภาคเป้าหมาย ทั้งนี้ การที่เรารักษาความกว้างของเกาส์เชียนให้คงที่ ทำให้การวิวัฒนาทางเวลาของการแจกร่องวัตถุ A ถูกกำหนดโดยการเคลื่อนที่ของเซนทรอยด์ของเกาส์เชียน $(\mathbf{r}_{i0}, \mathbf{p}_{i0})$ ซึ่งแพร่ขยายโดยวงเล็บปัวซอง (Poisson brackets)

$$\dot{\mathbf{p}}_{i0} = \left\{ p_{i0}, \sum_j H_j \right\} = \{ \mathbf{p}_{i0}, T_i + U_i \} \quad (2.16)$$

และ

$$\dot{\mathbf{r}}_{i0} = \left\{ \mathbf{r}_{i0}, \sum_j H_j \right\} = \{ \mathbf{r}_{i0}, T_i + U_i \} \quad (2.17)$$

ในที่นี้ T_i คือ พลังงานจลน์และ U_i คือ พลังงานรวมของนิวคลีอันทั้งหมด จากนั้นจะหาผลเฉลยของสมการเชิงอนุพันธ์นี้ได้โดยใช้รูที่นิการหาปริพันธ์แบบออยเลอร์ (Euler integration routine) ที่ขั้นเวลา (Time step) (Δt) คงที่

$$\mathbf{p}_{i0}(n+1) = \mathbf{p}_{i0}(n) - \nabla r_{i0} U_i \left(n + \frac{1}{2} \right) \Delta t \quad (2.18)$$

$$\mathbf{r}_{i0}\left(n + \frac{1}{2}\right) = \mathbf{r}_{i0}\left(n - \frac{1}{2}\right) + \frac{\mathbf{p}_{i0}(n)}{\left[\mathbf{p}_{i0}(n)^2 + m_i^2\right]^{\frac{1}{2}}} \Delta t + \nabla p_{i0} U_i \left(n - \frac{1}{2} \right) \Delta t \quad (2.19)$$

อนุภาคทั้งหลายจะการกระทำตอบโต้กันเป็นอันตรกิริยาแบบสองและสามวัตถุ ซึ่งเป็นสิ่งจำเป็นหากต้องการให้การขั้นๆ ลงๆ และสหสมพันธ์คงสภาพ เราพิจารณาระบบให้ประกอบด้วย อันตรกิริยาแบบพิลัยสั้น (Short range interaction) ระหว่างนิวเคลียชนมีส่วนรับผิดชอบต่อสมบัติ โดยรวมของระบบ เป็นอันตรกิริยานิดสเกิร์มแบบเฉพาะที่ (Local Skyrme-type interaction) และ เพิ่ม อันตรกิริยาแบบyu กาวาพิลัยยาว (Long range Yukawa interaction) ที่มีความจำเป็นในการ ทดแทนที่ผิวและอันตรกิริยาแบบคูลอมบ์ (Coulomb interaction) ทำให้สามารถเขียนอันตรกิริยา สถิติโดยรวมได้เป็น

$$V^{tot} = V^{loc} + V^{Yuk} + V^{Coul} \quad (2.20)$$

เมื่อแต่ละเทอมแสดงดังนี้

$$V^{loc} = t_1 d(\mathbf{r}_1 - \mathbf{r}_2) + t_2 d(\mathbf{r}_1 - \mathbf{r}_2) d(\mathbf{r}_1 - \mathbf{r}_3) \quad (2.21)$$

$$V^{Yuk} = t_3 \frac{e^{-|\mathbf{r}_1 - \mathbf{r}_2|/m}}{|\mathbf{r}_1 - \mathbf{r}_2|/m} \quad (2.22)$$

โดย $m = 1.5$ fm และ $t_3 = -6.66$ MeV ซึ่งพารามิเตอร์เหล่านี้จะทำให้รักษาสภาพ พื้นผิวนิวเคลียสไว้ได้พลังงานรวม H_i ของอนุภาค i เป็นผลรวมของพลังงานคลื่นและพลังงาน ศักย์

$$H_i = T_i + U_i = T_i + \frac{1}{2} \sum_{j \neq i} U_{ij}^{(2)} + \frac{1}{3!} \sum_{jk \neq i} U_{ijk}^{(3)} \quad (2.23)$$

โดย T_i คือ พลังงานคลื่นของอนุภาค i ส่วนเทอมต่างๆ ของพลังงานศักย์แสดงได้ดังนี้

$$\begin{aligned} U_i^{(2)}(t) &= \sum_{j \neq i} U_{ij}^{(2)} = \sum_{j \neq i} \int f_i(\mathbf{r}_i, \mathbf{p}_i, t) f_j(\mathbf{r}_j, \mathbf{p}_j, t) V^{(2)}(\mathbf{r}_i - \mathbf{r}_j) d^3 \mathbf{r}_i d^3 \mathbf{p}_i d^3 \mathbf{r}_j d^3 \mathbf{p}_j \\ &= U_{iloc}^{(2)} + U_{iYuk}^{(2)} + U_{iCoul}^{(2)} \end{aligned} \quad (2.24)$$

ซึ่ง

$$U_{iloc}^{(2)} = t_1 \delta(\mathbf{r}_{i0}) \quad (2.25)$$

เมื่อความหนาแน่นอันตรกิริยา (Interaction density) $\tilde{\rho}(\mathbf{r}_{i0})$ คือ

$$\tilde{\rho}(\mathbf{r}_{i0}) = \frac{1}{(4\pi L)^{3/2}} \sum_j e^{-(\mathbf{r}_{i0} - \mathbf{r}_{j0})^2/4L} \quad (2.26)$$

ความหนาแน่นอันตรกิริยา มีค่าเป็นสองเท่าของความกว้างของความหนาแน่นของอนุภาคเดี่ยว (Single particle density)

$$\begin{aligned} U_{iYuk}^{(2)} &= \sum_{j \neq i} U_{ijYuk}^{(2)} \\ &= t_3 \sum_{j \neq i} \frac{e^{-r_{ij}/m}}{r_{ij}/2m} \left\{ e^{-r_{ij}/m} \left[1 - \Phi \left(\frac{\sqrt{L}}{m} - \frac{r_{ij}}{2\sqrt{L}} \right) \right] - e^{r_{ij}/m} \left[1 - \Phi \left(\frac{\sqrt{L}}{m} + \frac{r_{ij}}{2L} \right) \right] \right\} \end{aligned} \quad (2.27)$$

ในที่นี้ $\Phi(x)$ คือ พังก์ชันค่าคลาดเคลื่อน (Error function) $U_{iCoul}^{(2)}$ คือ พลังงานคูลอมบ์ (Coulomb energy) ขณะที่ศักย์ของสามวัตถุเมื่อ $v = 2$ กำหนดโดย

$$\begin{aligned} U_i^{(3)} &= \sum_{j,k;j,k \neq i,k \neq j} \int f_i(\mathbf{r}_i, \mathbf{p}_i, t) f_j(\mathbf{r}_j, \mathbf{p}_j, t) f_k(\mathbf{r}_k, \mathbf{p}_k, t) \times V^{(3)} d^3\mathbf{r}_i d^3\mathbf{p}_i d^3\mathbf{r}_j d^3\mathbf{p}_j d^3\mathbf{r}_k d^3\mathbf{p}_k \\ &= \frac{t_2}{(2\pi L)^3 3^{3/2}} \times \sum_{j,k;j,k \neq i,k \neq j} \exp \left\{ \left[(\mathbf{r}_{i0} - \mathbf{r}_{j0})^2 + (\mathbf{r}_{i0} - \mathbf{r}_{k0})^2 + (\mathbf{r}_{j0} - \mathbf{r}_{k0})^2 \right] / 6L \right\} \\ &\approx \frac{t_2}{(2\pi L)^3 3^{3/2}} \sum_{j,k;k \neq i} \exp \left[\left(\mathbf{r}_{i0} - \mathbf{r}_{j0} \right)^2 + \left(\mathbf{r}_{i0} - \mathbf{r}_{k0} \right)^2 \right] / 4L \\ &\approx \frac{t_2 (4\pi L)^{3v/2}}{(2\pi L)^{3(v-1)/2} (v+1)^{3/2}} \tilde{\rho}_i^v(\mathbf{r}_{i0}) \end{aligned} \quad (2.28)$$

ค่าคาดหมายของพลังงานรวม คือ

$$E = \sum_i \left[T_i + \frac{1}{2} U_i^{(2)} + \frac{1}{3!} U_i^{(3)} \right] \quad (2.29)$$

เมื่อดูนีตัวบนแสดงถึงอันตรกิริยะระหว่างสองและสามวัตถุตามลำดับ

ต่อไปเราต้องกำหนดพารามิเตอร์ t_1 และ t_2 โดยเริ่มจากการสังเกตว่าในสารนิวเคลียส นั้นความหนาแน่นคงตัว $U^{(2)}$ แปรผันตรงกับ ρ/ρ_0 ในสารนิวเคลียสที่สปินอิมตัว (Spin saturated nuclear matter) จะพบว่าอันตรกิริยาระหว่างสามวัตถุสมมูลกับอันตรกิริยาสองวัตถุที่เชื่อมกับความหนาแน่น ถ้าสมมติให้ความหนาแน่นไม่แปรผันมากนักในช่วงระยะระหว่างสองวัตถุ จะได้ว่า $U^{(3)}$ แปรผันตรงกับ $(\rho/\rho_0)^2$ ข้อสังเกตนี้ทำให้เราสามารถเข้ามายัง ระหว่างพารามิเตอร์ เข้ากับสมบัติของสารนิวเคลียสได้ จึงสามารถเขียนศักย์ในสารนิวเคลียสได้เป็น

$$U^{loc} = \alpha \left(\frac{\rho}{\rho_0} \right) + \beta \left(\frac{\rho}{\rho_0} \right)^2 \quad (2.30)$$

ศักย์นี้มีพารามิเตอร์อิสระสองตัว ซึ่งสามารถหาได้จากเงื่อนไขที่กล่าวว่าพลังงานยึดเหนี่ยวของสารนิวเคลียสที่ความหนาแน่นปกติมีค่าเฉลี่ยเท่ากับ 16 MeV และพลังงานรวมจะมีค่า น้อยสุดที่ ρ_0 การปรับพารามิเตอร์สองตัวนี้จะให้ค่าของสภาพอัดได้ (Compressibility) ออกมาก ด้วย เพื่อที่จะศึกษาผลของสภาพอัดได้เราสามารถเขียนศักย์ให้อยู่ในรูปทั่วไป

$$U^{loc} = \alpha \left(\frac{\rho}{\rho_0} \right) + \beta \left(\frac{\rho}{\rho_0} \right)^\gamma \quad (2.31)$$

จะเห็นว่าขณะนี้มีการใส่พารามิเตอร์ตัวที่สามเข้าไป เพื่อที่จะทำให้สภาพอัดได้จะไม่ ขึ้นกับปริมาณอื่น ๆ และยังสามารถตีความโดยนำไปเทียบกับศักย์ระหว่างนิวเคลียสนะจะได้ว่า ด้วย γ ส่วนพารามิเตอร์ α จะล้มพังกับศักย์ยุค古 ซึ่งกระจายแบบเทย์เลอร์ได้ดังนี้

$$\begin{aligned} U_{Yuk} &= \int d^3r \int d^3r' \frac{e^{-|r-r'|}/m}{|r-r'|/m} \rho(\mathbf{r}) \rho(\mathbf{r}') \\ &= 4\pi m^3 \left\{ \int d^3r \rho^2(\mathbf{r}) + m^2 \int d^3r' [\rho(\mathbf{r}) \nabla^2 \rho(\mathbf{r})] \right\} \end{aligned} \quad (2.32)$$

ในที่นี่ α มีค่า

$$\alpha \sim t - 4\pi m^3 t_3 \quad (2.33)$$

ค่าล้มพันธ์ระหว่าง t_1 และ t_2 และพารามิเตอร์ m จะถูกปรับเพื่อที่จะให้ค่าพลังงานยึดเหนี่ยวมีค่าที่สมเหตุสมผลตามจำนวนนิวเคลียสที่มีอยู่จำกัด ซึ่งค่า $t_2 = 10 \text{ MeV}$ และ $m = 0.8 \text{ fm}$ ให้ $E/A = 4-16 \text{ MeV}$ สำหรับนิวเคลียส A ตั้งแต่ 7 ถึง 200 ส่วนสัมประสิทธิ์ที่สอดคล้องกันระหว่าง α กับ t_1 และระหว่าง b กับ t_2 จะหาได้จากการคำนวณเชิงตัวเลข

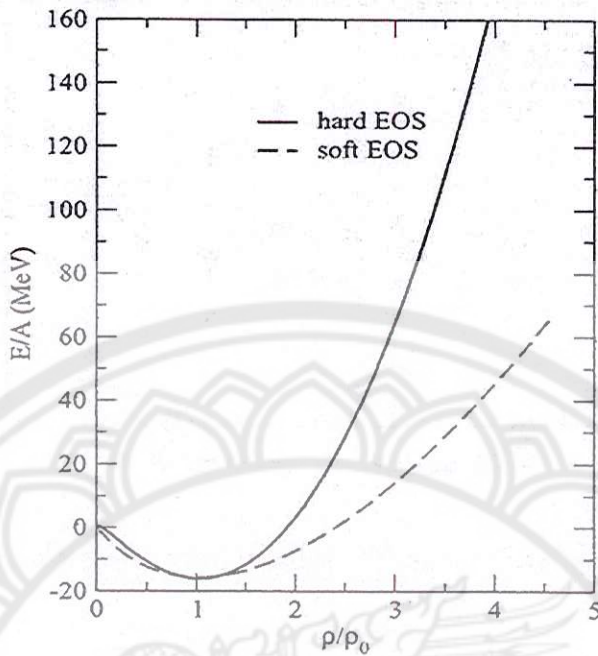
อย่างไรก็ตามเราต้องการเน้นว่าสำหรับวิธีการแพร์เซปชันจิริ ฯ แล้วอันตรกิริยาที่ขัดแย้งของสองและสามวัตถุจะถูกใช้ไม่ใช่ศักย์ของของสารนิวเคลียร์ ซึ่งเรื่องนี้มีความสำคัญเนื่องจาก การสมมูลของปริมาณทั้งสองจะเป็นจริงเฉพาะในสารนิวเคลียร์แต่ไม่จริงในระบบที่มีจำนวนนิวเคลียสจำกัด การสมมูลนี้สามารถใช้เชื่อมโยงพารามิเตอร์ t_1 และ t_3 กับสมบัติสารนิวเคลียร์ หรือสมการสถานะทางนิวเคลียร์ ทำให้เราสามารถศึกษารายละเอียดสมการสถานะทางนิวเคลียร์ที่เกิดขึ้นในระบบการชนของไอออนหนักแบบต่าง ๆ ในสารนิวเคลียร์จะมีการปรับอันตรกิริยาของสองและสามวัตถุ เล็กน้อยเพื่อให้สอดคล้องกับอันตรกิริยาที่ขึ้นกับความหนาแน่น

ในการชนของไอออนหนัก โดยภาพ 2 แสดงถึงการขึ้นกับความหนาแน่นของพลังงานที่สถานะพื้นต์ตอนนุภาคในสารนิวเคลียร์สำหรับพารามิเตอร์ที่แตกต่างกันสองชุดรายละเอียดพารามิเตอร์ที่ใช้ในสมการที่ (2.31) จะแสดงดังตาราง 1

ตาราง 1 แสดงพารามิเตอร์ที่ใช้ในสมการที่ (2.31) สำหรับสมการสถานะทางนิวเคลียร์แบบแข็ง (hard EOS) และแบบอ่อน (soft EOS)

K	α	β	γ	EOS
200 MeV	-356 MeV	303 MeV	$\frac{7}{6}$	soft
380 MeV	-124 MeV	70.5 MeV	2	hard

ลักษณะของศักย์ระหว่างนิวเคลียสสามารถเพิ่มเติมโดยใช้อันตรกิริยาที่ขึ้นกับโมเมนตัม [40, 41, 42] สำหรับสภาพการอัดได้เพิ่มเติมอันตรกิริยาที่ขึ้นกับโมเมนตัมจะไม่เปลี่ยนแปลงของพลังงานในสารนิวเคลียร์ แต่จะมีผลต่อผลศาสตร์ของการชนของไอออนหนัก ดังนั้นในการคำนวณนี้เราใช้แรงสเกอร์มที่ขึ้นกับโมเมนตัม (Momentum dependent Skyrme force)



ภาพ 2 สมการสถานะแสดงถึงการขึ้นอยู่กับความหนาแน่นของพลังงานต่ออนุภาคในสารนิวเคลียร์ที่ อุณหภูมิ $T = 0$ สำหรับพารามิเตอร์ที่แตกต่างกันสองชุด [40]

ที่มาของสมการส่งผ่าน

ในแบบจำลอง QMD แต่ละนิวเคลียร์จะแทนด้วยสถานะอาพันธ์ (Coherent state)
(โดยกำหนด $\hbar, c = 1$)

$$\varphi_i(x; q_i, p_i, t) = \left(\frac{2}{L\pi} \right)^{3/4} \exp \left\{ -\frac{2}{L} (x - q_i(t))^2 + \frac{1}{\hbar} i p_i(t) x \right\} \quad (2.34)$$

พารามิเตอร์ L ซึ่งสัมพันธ์กับความกว้างของฟังก์ชันคลื่นในปริภูมิเฟล (Phase space)
ที่ถูกกำหนดขึ้น ผลรวมฟังก์ชันคลื่นแบบ N-body

$$\Phi = \prod_i \varphi_i(x, q_i, p_i, t) \quad (2.35)$$

ข้อจำกัดของแบบจำลอง QMD สามารถคำนวณได้ในช่วงพลังงาน 1-2 A GeV สมการ
การเคลื่อนที่ของระบบ N-body คำนวณด้วยค่าเฉลี่ยของการเปลี่ยนแปลง

$$S = \int_{t_1}^{t_2} L[\Phi, \Phi^*] dt \quad (2.36)$$

โดยฟังก์ชันลากราวน์จะถูกกำหนดให้เป็น

$$L = \left\langle \Phi \left| i\hbar \frac{d}{dt} - H \right| \Phi \right\rangle \quad (2.37)$$

มาจากการรวมเวลารวมกับพารามิเตอร์ พลังงานแอมิลตันเนียน (Hamiltonian) ประกอบด้วย พลังงานจลน์ (T_i) และ ศักย์ (V_{ij}) สำหรับค่าสถานะอาพันธ์ และสมการ ขามิโตเนียน มีค่าเป็น $H = \sum_i T_i + \frac{1}{2} \sum_{ij} V_{ij}$ สมการลากราวน์เจียน (Lagrangian) และตัวแปร สามารถคำนวณจาก

$$L = \sum_i \left[-\dot{q}_i p_i - T_i - \frac{1}{2} \sum_{j \neq i} \langle V_{ij} \rangle - \frac{3}{2Lm} \right] \quad (2.38)$$

$$\dot{q}_i = \frac{p_i}{m} + \nabla p_i \sum_j \langle V_{ij} \rangle = \nabla p_i \langle H \rangle \quad (2.39)$$

$$\dot{p}_i = -\nabla q_i \sum_{j \neq i} \langle V_{ij} \rangle = -\nabla q_i \langle H \rangle \quad (2.40)$$

โดยที่ $\langle V_{ij} \rangle = \int d^3x_1 d^3x_2 \phi_i^* \phi_j^* V(x_1, x_2) \phi_i \phi_j$ สมการวิวัฒนาเวลา (Time evolution) ซึ่งถูกแก้ปัญหาโดยวิธีเชิงตัวเลข ดังนั้นทฤษฎีที่เกี่ยวกับการเปลี่ยนแปลงเพื่อลดการวิวัฒนาเวลา ของสมการชุดดึงเดอร์ N-body สมการวิวัฒนาเวลาของพารามิเตอร์ $6 \times (A_p + A_T)$ สมการของ การเคลื่อนที่สำหรับพารามิเตอร์ p_i และ q_i

$$\dot{p}_i = \frac{\partial \langle H \rangle}{\partial q_i}, \quad \dot{q}_i = -\frac{\partial \langle H \rangle}{\partial p_i} \quad (2.41)$$

ผลเฉลยเชิงตัวเลขเหมือนกับผลศาสตร์โมเดลคลาสสิก [39] โดยรูปแบบของการจำลอง QMD มีการอนุรักษ์พัลส์งานและไม่เม่นต้ม

หลักการรวมของการชน

แบบจำลอง QMD มีลักษณะการชนของอนุภาคแบบใบนาหรือ การชนแสดงโดยอุดหนุนภาค เช่นเดียวกับแบบจำลอง VUU [43] การชนของอนุภาคสองตัว ด้วยระยะห่างน้อยสุด d ใกล้เดียง กับระยะของศูนย์กลางของ Gaussians ระหว่างการเคลื่อนที่ในกรอบศูนย์กลางมวล

$$d \leq d_0 = \sqrt{\frac{\sigma_{tot}}{\pi}}, \sigma_{tot} = \sigma(\sqrt{s}, type) \quad (2.42)$$

การเกิดของเคอ่อนในแบบจำลอง QMD

แบบจำลองการส่งผ่านของงานวิจัยนี้ใช้แบบจำลอง QMD การเกิด K^+ มีซ่อนจาก ปฏิกิริยา



เมื่อ B คือนิวเคลียน Y คือ "ไฮเปอร์วอน" ได้แก่ Λ และ Σ และ ปฏิกิริยาการดูดกลืน ไฟคอน



คุณสมบัติหลักของอนุภาค K^+ จาก Chiral Lagrangian และใช้การประมาณสนาม เคลื่อนเคอ่อน

$$\left[\left(\partial_\mu \pm iV_\mu \right)^2 + m_K^* \right] \phi_{K^\pm}(x) = 0 \quad (2.43)$$

V_μ และ m_K^* คือ ศักย์เวกเตอร์และมวลยังผลของเคอ่อน

$$V_\mu = \frac{3}{8f_\pi^{*2}} j_\mu$$

$$m_K^* = \sqrt{m_K^* - \frac{\Sigma_{KN}}{f_\pi^{*2}} \rho_s + V_\mu V^\mu} \quad (2.44)$$

สมการโคลาเรียนต์ในพลศาสตร์ สามารถหาค่าได้จากสมการ (2.38) และเขียนอยู่ในรูปของสมการลัมพ์ทอภาพสำหรับบารีอน

$$\begin{aligned} \frac{dq^\mu}{d\tau} &= \frac{k^{*\mu}}{m_K^*} \\ \frac{dk^{*\mu}}{d\tau} &= \frac{k^{*\mu}}{m_K^*} F^{\mu\nu} + \partial_\mu m_K^* \end{aligned} \quad (2.45)$$

$q_\mu = (t, \mathbf{q})$ คือ โคออร์ดิเนตใน Minkowski space และ $F^{\mu\nu} = \partial_\mu V^\nu - \partial_\nu V^\mu$ คือ เทนเซอร์ความแรงของสนาม (Field strength tensor) สำหรับ K^+ สมการ (2.45) สามารถเขียนได้เป็น

$$\frac{d\mathbf{k}^*}{dt} = -\frac{m_K^*}{E^*} \frac{\partial m_K^*}{\partial \mathbf{q}} - \frac{\partial V^0}{\partial \mathbf{q}} + \frac{\mathbf{k}^*}{E^*} \times \left(\frac{\partial}{\partial q} \right) \times \mathbf{V} \quad (2.46)$$

โดยใช้พารามิเตอร์ Kaplan Nelson term $\sum_{KN} = 450 \text{ MeV}$, $f_\pi^2 = 0.6 f_\pi^2$, $f_\pi^{*2} = f_\pi^2$ ค่าโมเมนตัมพื้นฐานขึ้นอยู่กับอันตรภาคีญา Skyrme ซึ่งสอดคล้องกับสมการสถานะอ่อน (soft EOS, $K = 200 \text{ MeV}$) และสมการสถานะแบบแข็ง (hard EOS, $K = 380 \text{ MeV}$)

การไหลรวมของอนุภาคน้ำตาล K^+ ภายในพลศาสตร์ของโคลาเรียนต์บารีอน

การคำนวณการไหลรวมของอนุภาคน้ำตาล K^+ ภายในพลศาสตร์โคลาเรียนต์บารีอนจะมีถูกชี้แจงการไหลรวมของอนุภาคน้ำตาลที่เกิดขึ้นภายหลังการชนแบ่งได้เป็น 3 แบบ คือ

1. การไหลเชิงตรง (Direct flow)

$$v_1 = \left\langle \frac{p_x}{p_t} \right\rangle \quad (2.47)$$

เมื่อ

p_x = การส่งผ่านโมเมนตัมในแนวแกน x

p_y = การส่งผ่านโมเมนตัมในแนวแกน y

$$p_t = \sqrt{p_x^2 + p_y^2} \quad (2.48)$$

$$y^0 = \frac{y_{cm}}{y_{proj}} \quad (2.49)$$

เมื่อ

y_{cm} = แรพิดตี้ของเคอนในระบบศูนย์กลางมวล

y_{proj} = แรพิดตี้ของเคอนในระบบกรอบปฏิบัติการ

2. การไหลแบบวงรี (Elliptic flow) ถ้าให้จำของอนุภาคที่เคลื่อนที่เข้าชนกันอยู่ในแนวแกน z และระนาบการเกิดปฏิกิริยา (Reaction plane) อยู่ในแนวแกน x-z และ การไหลแบบวงรีจะถูกกำหนดโดยผลต่างของกำลังสองของโมเมนตัมตามแนวขวางในแนว x และ y

$$v_2 = \left\langle \frac{p_x^2 - p_y^2}{p_x^2 + p_y^2} \right\rangle \quad (2.50)$$

3. การไหลตามแนวรัศมี (Radial flow) ในการชนแบบผ่านจุดศูนย์กลางซึ่งพารามิเตอร์การระบบท่มีค่าเป็นศูนย์ จะไม่พบการไหลตามขวางและการไหลแบบวงรี มีก็แต่เพียงการไหลตามแนวรัศมี

4. กระจายอะซิมูทธอลของ K^+ เป็นการกระจายอะซิมูทธอลของ K^+ ของอันตรกิริยาการชนของนิวเคลียส – นิวเคลียส ของการชน $^{58}_{28}\text{Ni} + ^{58}_{28}\text{Ni}$ ที่ระดับพลังงาน 1.93 A GeV และการชนของ $^{197}_{79}\text{Au} + ^{197}_{79}\text{Au}$ ที่ระดับพลังงาน 1.50 A GeV ค่าการกระจายอะซิมูทธอล จะใช้การกระจายของอนุกรมฟูเรียโดยพิจารณาสองเทอมแรกดังสมการนี้

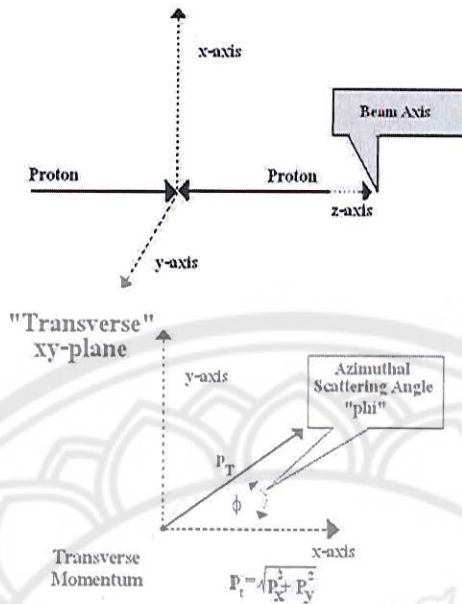
$$\frac{dN}{df} : 2v_1 \cos(f) + 2v_2 \cos(2f) \quad (2.51)$$

และ

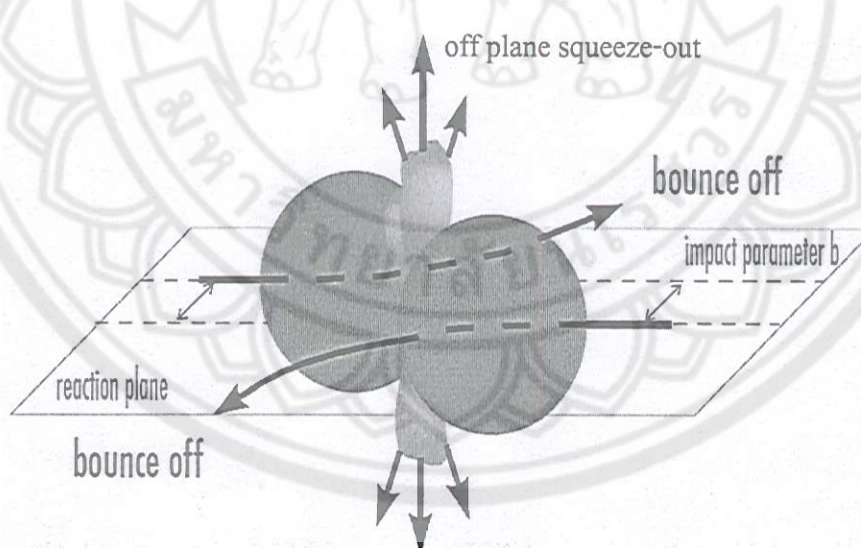
$$f = \tan^{-1} \frac{\frac{\partial p_y}{\partial \theta}}{\frac{\partial p_x}{\partial \theta}} \quad (2.52)$$

เมื่อ N คือ จำนวนอนุภาคของเคอน

f คือ มุมของการกระจายอะซิมูทธอล



ภาพ 3 เป็นการแสดงการกระจายอะซิมูทอลในระนาบตามขวาง xy โดย ϕ เป็นมุมอะซิมูทอล และ p_t เป็นองค์ประกอบของโมเมนตัมในระนาบตามขวาง



ภาพ 4 การกระเด้งออกในระนาบ เนื่องจากมีการบีบอัดอนุภาคน้ำหนักที่จะเคลื่อนที่ไปข้างหน้า มีโมเมนตัมส่งผ่านมีทิศตรงข้ามกับอนุภาคน้ำหนักที่เคลื่อนที่ไปข้างหลังพร้อมทั้งแสดง การบีบอัก (Squeeze-out) การปลดปล่อยอนุภาคน้ำหนักเมื่อทิศตั้งฉากกับระนาบปฏิกิริยาใกล้ Mid-rapidity ผลของการบีบอัดที่ทำนายโดยการคำนวณ Hydrodynamic [44]

การแปลงแบบสัมพัทธภาพ เวกเตอร์ในสีมิติ

ทฤษฎีสัมพัทธภาพ เป็นทฤษฎีที่เกี่ยวข้องกับการดำเนินการและเวลาการเปลี่ยนแปลงนี้ ขึ้นอยู่กับกรอบของผู้สังเกต แต่มีบางปริมาณทางฟิสิกส์ที่คงที่ไม่เปลี่ยนแปลงในทฤษฎีนี้ คือ ความเร็วของแสงที่เท่าทุกกรอบของผู้สังเกต (3×10^8 m/s) และอีกปริมาณ คือ กำลังสองของ ดำเนินการและเวลาที่ต่างกัน 2 เหตุการณ์ ที่มีค่าเท่ากับผลต่างกำลังสองของเวกเตอร์ในสีมิติ ดังแสดงในสมการ

$$s^2 = t^2 - x^2 = t^2 - x'^2 \quad (2.53)$$

นอกจากนี้อีกปริมาณหนึ่งก็คือ มวลนิ่ง ที่มีค่าเท่ากันทุกกรอบของผู้สังเกต โดยค่ามวลนิ่ง จะถูกกำหนดในสมการ

$$m^2 = E^2 - p^2 \quad (2.54)$$

ปริมาณทางจลนศาสตร์ที่ใช้อธิบายอนุภาค คือ ดำเนินการ และ โมเมนตัม โดยสมการที่ใช้อธิบายระบบนี้ จะไม่ขึ้นกับแกนอ้างอิงที่ใช้อย่างไรก็ตามอนุภาคที่ศึกษามีพลังงานสูงที่ระดับทฤษฎีสัมพัทธภาพพิเศษ ดำเนินการและโมเมนตัมจะต้องไม่เปลี่ยนแปลงภายใต้การแปลงลօเรนซ์ โดยจะแสดงในรูปของเวกเตอร์สีมิติ ที่มีการรวมกันขององค์ประกอบของดำเนินการสามมิติและเวลา ดังแสดงในสมการ

$$x^\mu = (x^0, x^1, x^2, x^3) = (t, x, y, z) \quad (2.55)$$

โดย x^0 คือเวลา x^1, x^2, x^3 คือ ดำเนินการ และตัวอักษรกรีก $\mu = 1, 2, 3$ เมื่อพิจารณาจาก ลัญลักษณ์ x^μ จะมีด้วยกันเป็นอักษรกรีก เรียกว่าเวกเตอร์สีมิติแบบ Contravariant ในขณะที่ ลัญลักษณ์ x_μ จะมีด้วยกันเป็นอักษรกรีก เรียกว่าเวกเตอร์สีมิติแบบ covariant การแปลงระหว่าง Contravariant กับ covariant จะใช้แทนเซอร์เมติกซ์ดังแสดงในสมการ

$$q_{\mu\nu} = q^{\mu\nu} = \begin{pmatrix} 1 & 0 & 0 & 0 \\ 0 & -1 & 0 & 0 \\ 0 & 0 & -1 & 0 \\ 0 & 0 & 0 & -1 \end{pmatrix} \quad (2.56)$$

เมื่อคำนวณการลงบนเวกเตอร์สี่มิติแล้วเปลี่ยนเครื่องหมายองค์ประกอบของตัวแทนง
ดังสมการ

$$x_\mu = q_{\mu\nu} x^\nu = (x^0, -x^1, -x^2, -x^3) = (t, -x, -y, -z) \quad (2.57)$$

และสามารถลดเลขด้วยที่ซ้ำกันแต่ต้องต่างตัวแทนงกันได้ดังสมการ

$$x_\mu = q_{\mu\nu} x^\nu \quad x^\mu = q^{\mu\nu} x_\nu \quad (2.58)$$

และผลคูณของเวกเตอร์สี่มิติแบบผลคูณจุด (Dot product) สามารถหาได้จาก

$$X.X = q_{\mu\nu} x^\mu x^\nu = t^2 - x^2 - y^2 - z^2 \quad (2.59)$$

ซึ่งตัวหารพบว่าตัวอักษรด้วยที่ซ้ำกันให้ใช้วิธีที่เรียกว่า สัญลักษณ์การบวกของไอน์สไตน์ นั่นคือการพยายามเลขด้วยที่ซ้ำกันให้ครบถูกค่าแล้วนำมารบวกกัน

ความยาวของเวกเตอร์สี่มิติเป็นปริมาณคงตัวในทางทฤษฎีสัมพันธภาพพิเศษที่สามารถ
หาได้จากการที่สองของผลคูณจุดของตัวแทนงดังสมการ

$$|X| = \sqrt{X.X} = \sqrt{x_1 x_i} \quad (2.60)$$

ในกรณีของโมเมนตัม เวกเตอร์สี่มิติแบบ Contravariant จะเขียนเป็น

$$p^\mu = (E, p) = (E, p_x, p_y, p_z) \quad (2.61)$$

และเวกเตอร์สี่มิติแบบ Covariant ของโมเมนตัมเขียนเป็น

$$p_\mu = (E, p) = (E, -p_x, -p_y, -p_z) \quad (2.62)$$

การแปลงระหว่างโมเมนตัมสี่มิติแบบ Contravariant กับ Covariant ทำได้โดยใช้แทนเซอร์เมตริกซ์ดังแสดงในสมการ

$$p_\mu = q_{\mu\nu} p^\nu, \quad p^\mu = q^{\mu\nu} p_\nu \quad (2.63)$$

และสามารถเขียนผลคูณระหว่างโมเมนตัมสี่มิติแบบผลคูณจุด กับตัวแหน่งได้เป็น

$$P.X = Et - p.x \quad (2.64)$$

ซึ่งผลคูณจะบวกถึงเพลสระบบ ในกรณีการคูณระหว่างโมเมนตัมสี่มิติด้วยกันเอง จะเขียนได้เป็น

$$P_1.P_2 = E_1 E_2 - p_1 \cdot p_2 \quad (2.65)$$

หาก $P_1 = P_2$ แล้วจะได้ว่า

$$\begin{aligned} P.P &= p_\mu p^\mu = q_{\mu\nu} p^\mu p^\nu \\ P^2 &= E^2 - p_x^2 - p_y^2 - p_z^2 \\ P^2 &= E^2 - p_1 \cdot p_2 \\ P^2 &= E^2 - |p_1|^2 = m^2 \end{aligned} \quad (2.66)$$

เรียกสมการ (2.66) ว่า มวลยืนยง (Invariant mass) เมื่อ m เป็นมวลนิ่งของอนุภาคถ้าพิจารณาจากสมการนี้ จะสามารถเขียนในรูป

$$\begin{aligned} \text{เกกเตอร์สี่มิติของโมเมนตัม}^2 &= \text{พลังงาน}^2 - \text{เกกเตอร์สามมิติของโมเมนตัม}^2 \\ &= \text{เทอมของเวลา} - \text{เทอมของตำแหน่ง} \end{aligned}$$

momentum) เพราะว่าเทอมของเวลามากกว่าเทอมของอวกาศ แต่เมื่อ $P^2 < 0$ จะเรียกว่า โมเมนตัมสี่มิติเหมือนตัวแทน (Spacelike 4-momentum) เพราะว่าเทอมของตัวแทนมีค่ามากกว่าเทอมของเวลา

การแปลงแบบลอเรนซ์

การทดลองทางฟิสิกส์อนุภาคมีทั้งแบบที่เร่งอนุภาคให้วิ่งเข้าชนกันโดยทั้งสองอนุภาค มีพลังงานเท่ากัน หรือบางกรณีจะเป็นการเร่งอนุภาคตัวหนึ่งเข้าชนอนุภาคอีกตัวหนึ่งที่อยู่กับที่ ซึ่งทั้งสองกรณีจุดศูนย์กลางมวลของระบบต่างๆ เคลื่อนที่ด้วยความเร็วใกล้แสง ดังนั้นการเชื่อมโยงผลการทดลองของทั้งสองระบบเข้าด้วยกันด้วยการแปลงแบบลอเรนซ์

พิจารณาระบบที่ผู้สังเกตอยู่ในกรอบ r' ที่เคลื่อนที่ในแนวแกน z ด้วยความเร็ว β เทียบกับกรอบ r พลังงานและโมเมนตัมจะสัมพันธ์กันตามการแปลงแบบลอเรนซ์ดังสมการ

$$\begin{aligned} E' &= \gamma(E - \beta p_z) & E &= \gamma(E' - \beta p'_z) \\ p'_x &= p_x & p_x &= p'_x \\ p'_y &= p_y & p_y &= p'_y \\ p'_z &= g(p_z - bE) & p_z &= g(p'_z - bE') \end{aligned} \quad (2.67)$$

เมื่อ γ คือ ตัวประกอบลอเรนซ์ (Lorentz factor) กำหนดโดย

$$\gamma = \sqrt{\frac{1}{1-\beta^2}} \quad (2.68)$$

และเขียนความสัมพันธ์ระหว่างพลังงาน ขนาดของโมเมนตัมและ มวลของอนุภาคได้เป็น

$$E = \gamma m, \quad p = \beta E \quad (2.69)$$

โดยพลังงานจน $T = E - m = (\gamma - 1)m$ การแปลงลอเรนซ์ที่แกนของกรอบทั้งสอง ขนาดกันหรือไม่มีการหมุน เรียกว่า บูสต์ (boost) องค์ประกอบของเวกเตอร์ 4 มิติ ที่ตั้งฉากกับ ทิศทางของบูสต์จะไม่เปลี่ยนแปลงภายใต้การแปลงลอเรนซ์ เช่น หากแกน S' เคลื่อนที่ในแนวแกน

โดยพลังงานจน $T = E - m = (\gamma - 1)m$ การแปลงลอเรนซ์ที่แกนของกรอบทั้งสองข่านกันหรือไม่มีการหมุน เรียกว่า บูสต์ (boost) องค์ประกอบของเวกเตอร์ 4 มิติ ที่ตั้งจากกับทิศทางของบูสต์จะไม่เปลี่ยนแปลงภายใต้การแปลงลอเรนซ์ เช่น หากแกน S' เคลื่อนที่ในแนวแกน z แล้วไม่ เมนตัมในแนวแกน x และแกน y จะไม่เปลี่ยนแปลงโดยจะเรียกผลรวมของแกนทั้งสองว่า โมเม้นตัมตามขวาง (Transverse momentum p_T หรือ p_\perp)

$$p_T = p_\perp = \sqrt{p_x^2 + p_y^2} \quad (2.70)$$

และไม่ เมนตัมตามแกน z จะเรียกว่า โมเม้นตัมตามยาว (Longitudinal momentum) $p_L = p_z$ ทำให้สามารถเขียนความสัมพันธ์ของปริมาณระหว่างกรอบ S' ให้เป็น S ได้เป็น

$$\begin{aligned} E' &= \gamma (E - \beta p_L) \\ p'_T &= p_T \\ p'_L &= \gamma (p_L - \beta E) \end{aligned} \quad (2.71)$$

ปริมาณอีกสองปริมาณที่ใช้ในการอธิบายจนศักดิ์ของอนุภาคอีกสองปริมาณ คือ มวลตามขวาง (Transverse mass, m_T หรือ m_\perp) และ แรพิดิตี้ (Rapidity, y) โดยมวลตามขวางคือผลต่างของพลังงานและโมเม้นตัมตามยาว

$$m_T^2 = p_\perp^2 + m^2 \quad (2.72)$$

ส่วนแรพิดิตี้ กำหนดโดยเทอมของพลังงานกับโมเม้นตัมตามยาว

$$y = \frac{1}{2} \ln \left(\frac{E + p_z}{E - p_z} \right) \quad (2.73)$$

โดยภายใต้ลอเรนซ์บูสต์ แรพิดิตี้สามารถเขียนได้เป็น

$$y^* = y - \frac{1}{2} \ln \left(\frac{1+\beta}{1-\beta} \right) \quad (2.74)$$

$$\eta = \frac{1}{2} \ln \left(\frac{p + p_z}{p - p_z} \right) \quad (2.75)$$

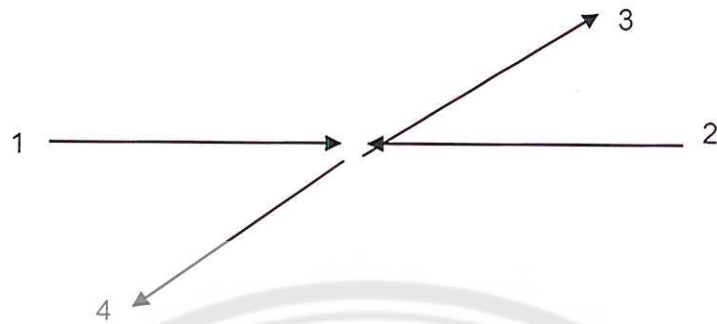
โดยจะเรียก η ว่าเป็นแรพิดตี้เตียม (Pseudorapidity) ซึ่งจะมีประโยชน์มากในการทดลองที่ไม่ทราบมวลและชนิดของอนุภาค

โดยปกติในการชนกันของอนุภาค ตำแหน่งและโมเมนตัมจะแตกต่างกันในกรอบ อังกิง ที่ต่างกัน อย่างไรก็ตามปริมาณทางฟิสิกส์หลายๆ ค่า เช่น ค่าภาคตัดขวางและ อัตราการสลายตัว ไม่ซึ้นกับกรอบ อังกิง ที่ใช้

ปริมาณที่ไม่แปรผันภายใต้การแปลงลอเรนซ์ นี้สามารถเขียนในเทอมของผลบวกหรือ ผลต่างกำลังสองของโมเมนตัม 4 มิติ มีรูปเรียกว่า ตัวแปรเม้นเดลสตา้ม (Mandelstam variables) หากอนุภาคที่เข้าชนกัน คือ อนุภาคที่ 1 และอนุภาคที่ 2 แล้วกระเจิงออกมานี้เป็น อนุภาคที่ 3 และ 4 แล้ว ($1+2 \rightarrow 3+4$) ค่าที่ไม่แปรเปลี่ยน คือ ค่ายกกำลังสองของผลบวกหรือผลต่างโมเมนตัม 4 มิติ โดยสามารถกำหนดตัวแปรได้สามแบบนี้

$$\begin{aligned} s &= (p_1 + p_2)^2 = (p_3 + p_4)^2 \\ t &= (p_1 - p_3)^2 = (p_2 - p_4)^2 \\ u &= (p_1 - p_4)^2 = (p_2 - p_3)^2 \end{aligned} \quad (2.76)$$

เมื่อ $s+t+u=m_1^2+m_2^2+m_3^2+m_4^2$ จะเห็นได้ว่าตัวแปรแรก s ซึ่นกับสถานะเริ่มต้น หรือสถานะสุดท้ายอย่างได้อย่างหนึ่งเท่านั้น ในขณะที่ t และ u เป็นการผสมกันระหว่างสถานะเริ่มต้นกับสถานะสุดท้าย นอกจากนั้นราคานั่น s จะหมายถึงพลังงานทั้งหมดของการชน เนื่องจาก หน่วยของ \sqrt{s} เป็นหน่วยของโมเมนตัมคือ GeV ซึ่งจะเป็นหน่วยเดียวกันกับ หน่วยของพลังงานในระบบของหน่วยครัวนชาติ ดังนั้นจึงเรียกว่าเป็นพลังงานของการชน



ภาพ 5 การชนของอนุภาค

พลังงานของการชน

พิจารณาอนุภาค 2 อนุภาควิ่งเข้าชนกับ อนุภาคที่ 1 มีโมเมนตัม 4 มิติ $P_1 = (E_1, \vec{p}_1)$ อนุภาคที่ 2 มีโมเมนตัม 4 มิติ $P_2 = (E_2, \vec{p}_2)$ ปริมาณที่คงตัวจะไม่เปลี่ยนแปลง คือ ตัวแปรเม่น เดลสตาม s โดย



ภาพ 6 การชนระหว่าง 2 อนุภาค

สามารถหาได้จาก

$$\begin{aligned}
 s &= (P_1 + P_2)^2 = (E_1 + E_2)^2 - (\vec{p}_1 + \vec{p}_2)^2 \\
 &= m_1^2 + m_2^2 + 2(E_1 E_2 - \vec{p}_1 \cdot \vec{p}_2) \\
 &= m_1^2 + m_2^2 + 2(E_1 E_2 - p_1 p_2 \cos \theta)
 \end{aligned} \tag{2.77}$$

เมื่อ θ คือ มุมระหว่างโมเมนตัม 3 มิติ พลังงานของการชนหาได้จาก \sqrt{s} ซึ่งสามารถแบ่งได้ 2 แบบ คือ พลังงานการชนแบบกรอบศูนย์กลางมวล (Center-of-mass) และพลังงานการชนแบบกรอบที่เป้าอยู่นิ่ง (Fixed-target frame)

1. พลังงานของการชนแบบกรอบศูนย์กลางมวล เนื่องจากคิดที่ศูนย์กลางมวล ไม่ เมนตัม ที่เข้ามาทั้งสองด้าน จะทำให้ไม่ เมนตัมรวมเป็นศูนย์ $\vec{p}_1 + \vec{p}_2 = 0$ ดังนั้น



$$P_1 = (E_1, \vec{p}) \quad P_2 = (E_2, -\vec{p})$$

ภาพ 7 การชนแบบกรอบศูนย์กลางมวล

$$s = (E_1 + E_2)^2 \quad (2.78)$$

จึงเขียนพลังงานของการชนแบบกรอบศูนย์กลางมวลได้เป็น

$$\sqrt{s} = E_1 + E_2 \quad (2.79)$$

ในกรณีที่ $m_1 = m_2$ และ $E_1 = E_2 = E$ จะได้ $\sqrt{s} = 2E$

2. พลังงานของการชนแบบกรอบที่เป้าอยู่นิ่ง เกิดจากการที่ $\vec{p}_2 = 0$ จาก $E^2 = p^2 + m^2$ จึงทำให้ $E_2 = m_2$ ดังนั้น



$$P_1 = (E_1, \vec{p}) \quad P_2 = (m_2, 0)$$

ภาพ 8 การชนแบบกรอบที่เป้าอยู่นิ่ง

$$s = m_1^2 + m_2^2 + 2E_1 m_2 \quad (2.80)$$

ถ้า $E_1 \square m_1, m_2$ จะสามารถประมาณค่าพลังงานของการชนแบบนี้ได้ $\sqrt{s} = \sqrt{2E_1 m_2}$

อนุภาคและสนาน

ทฤษฎีที่ใช้อธิบายพิลิกส์อนุภาคคือ ทฤษฎีสนานควบคุม (Quantum field theories) โดยสนานคือ ค่าทางคณิตศาสตร์ที่กำหนดไว้แต่ละจุดในอว拉斯และเวลา สนานมีการเปล่งต่างๆ

กัน ภายใต้การแปลงลอเรนซ์ สนามมีทั้งสนามสเกลาร์ สนามเวกเตอร์ และสนามเทนเซอร์ แต่ละ ชนิดของอนุภาค จะมีสนามเกี่ยวข้องกันเสมอ

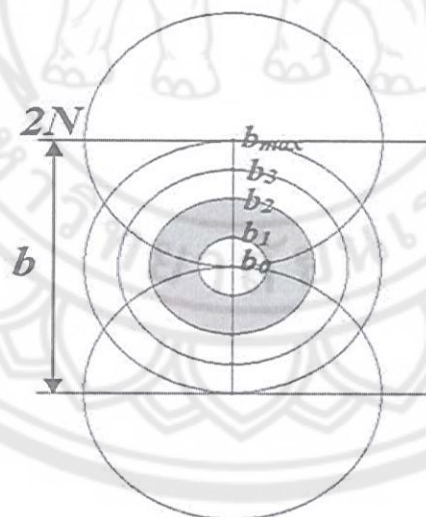
การศึกษานี้ใช้ปริมาณที่เรียกว่า ความหนาแน่นลากจรวด ซึ่งเป็นพักรหัสของสนามและ อนุพันธ์ของ อวากาศและเวลา โดยจะมีเหตุที่บวกถึงพลังงานจลน์และเหตุที่บวกถึงอันตรกิริยา ระหว่างสนาม

การอธิบายถึงอันตรกิริยาระหว่างอนุภาค หรือ สนาม ไม่สามารถใช้ สมการของ ชีรอดิงเจอร์ได้ เนื่องจาก สมการชีรอดิงเจอร์มีการเลียนแบบแปลงภาษาใต้การแปลงลอเรนซ์

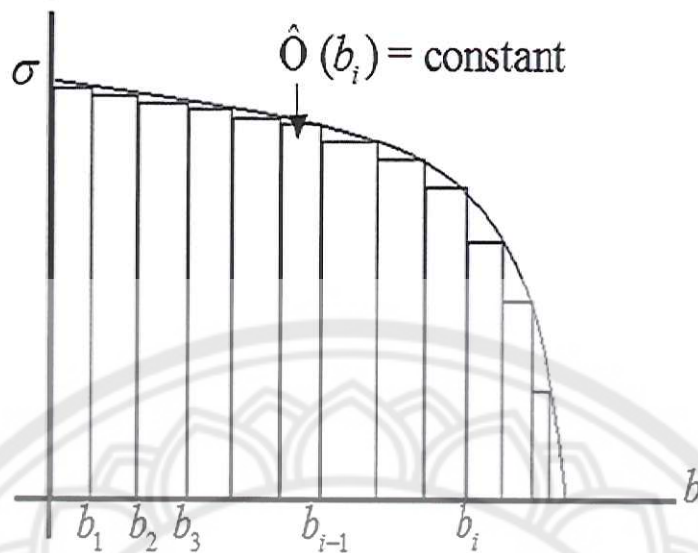
การหาค่าพารามิเตอร์ตักษะ (Impact parameters)

ลัมพ์ทบทวนของกระบวนการชนระหว่างนิวเคลียลีอ่อน-นิวเคลียลีอ่อน เป็นเครื่องมือที่ถูกสร้างขึ้นมาเพื่อ ศึกษาความหนาแน่นของสารนิวเคลียร์ที่ห้องปฏิบัติการ เมื่อพิจารณาเชิงเรขาคณิตและรูปแบบ ทางทฤษฎีทำให้ประมาณการณ์ได้ว่า ขนาดของความหนาแน่นของสารนิวเคลียร์ ณ บริเวณพื้นที่ การเกิดปฏิกิริยา จะขึ้นอยู่กับค่าพารามิเตอร์ตักษะ (Impact parameter; b)

โดยทั่วไปแล้วค่าพารามิเตอร์ตักษะของกระบวนการชนระหว่างนิวเคลียลีอ่อน-นิวเคลียลีอ่อน จะถูก นิยามว่าเป็นระยะระหว่างจุดศูนย์กลางของนิวเคลียลีทั้งสองก่อนทำการปฏิกิริยาดังแสดงในภาพ 9



ภาพ 9 แผนภาพการหาค่าพารามิเตอร์ตักษะของกระบวนการชนของนิวเคลียลี-นิวเคลียลี



ภาพ 10 แสดงแผนภาพความสัมพันธ์ระหว่างค่าภาคตัดขวางของการเกิดอนุภาค K^+ กับค่าพารามิเตอร์ตักษะทบ

จากภาพ 9 ค่าของภาคตัดขวางของการเกิดอนุภาค K^+ จะถูกนิยามเป็น

$$\sigma = \int_0^{b_{\max}} \hat{O}(b_i) db = \sum_i^N \hat{O}(b_i) \Delta b_i \quad (2.81)$$

เมื่อกำหนดให้ S เป็นพื้นที่ของบริเวณการเกิดปฏิกิริยา มีค่าเท่ากับ

$$S = \int_{b_a}^{b_b} 2\pi b db \quad (2.82)$$

เมื่อ b คือ รัศมีของพื้นที่ และจากภาพ 1.4 ทำให้ได้ว่า

$$\frac{\int_{b_a}^{b_b} O(b_i) 2\pi b db}{\int_{b_a}^{b_b} 2\pi b db} = \frac{\sum_i^N \int_{b_{i-1}}^{b_i} O(b_i) 2\pi b db}{\pi(b_b^2 - b_a^2)}$$

$$\hat{\sum}_i^N O(b_{i-1}, b_i) \int_{b_{i-1}}^{b_i} 2\pi b db \equiv \frac{\sum_i^N \hat{O}}{\pi(b_b^2 - b_a^2)} \quad (2.83)$$

กำหนดให้ S_i เป็นขอบเขตพื้นที่ของบริเวณการเกิดปฏิกิริยาที่สันใจ และอนุมานว่า S_i มีค่าเท่ากับพจน์ $\int_{b_{i-1}}^{b_i} 2\pi b db$ ของสมการ (2.83) เมื่อหาปริพันธ์ของพจน์ดังกล่าวจะได้เป็น

$$S_i \equiv \pi(b_i^2 - b_{i-1}^2) \quad (2.84)$$

จากภาพ 9 สามารถอนุมานค่าขอบเขตพื้นที่ของบริเวณการเกิดปฏิกิริยาทั้งหมดได้เป็น

$$S_i \equiv \frac{\int_{b_a}^{b_b} 2\pi b db}{2N} = \frac{\pi(b_b^2 - b_a^2)}{2N} \quad (2.85)$$

เทียบสมการ (2.84) กับ (2.85) จะได้ว่าค่าขอบเขตพื้นที่ของบริเวณการเกิดปฏิกิริยาที่สันใจจะมีค่าเท่ากับ

$$\begin{aligned} \pi(b_i^2 - b_{i-1}^2) &= \frac{\pi(b_b^2 - b_a^2)}{2N} \\ b_i^2 &= \frac{(b_b^2 - b_a^2)}{2N} + b_{i-1}^2 \end{aligned} \quad (2.86)$$

$$b_0 = b_a = 0$$

$$b_1^2 = \frac{1}{2N} [b_b^2 + (2N-1)b_a^2]$$

$$b_2^2 = \frac{(b_b^2 - b_a^2)}{2N} + \frac{1}{2N} [b_b^2 + (2N-1)b_a^2]$$

$$= \frac{1}{2N} [2b_b^2 + (2N-2)b_a^2]$$

$$b_i = \sqrt{\frac{ib_b^2 + (2N-i)b_a^2}{2N}} \quad (2.87)$$

เมื่อ $l = 1, 3, 5, 7, \dots, (2N-1)$

$n = 1, 2, 3, \dots$

และ

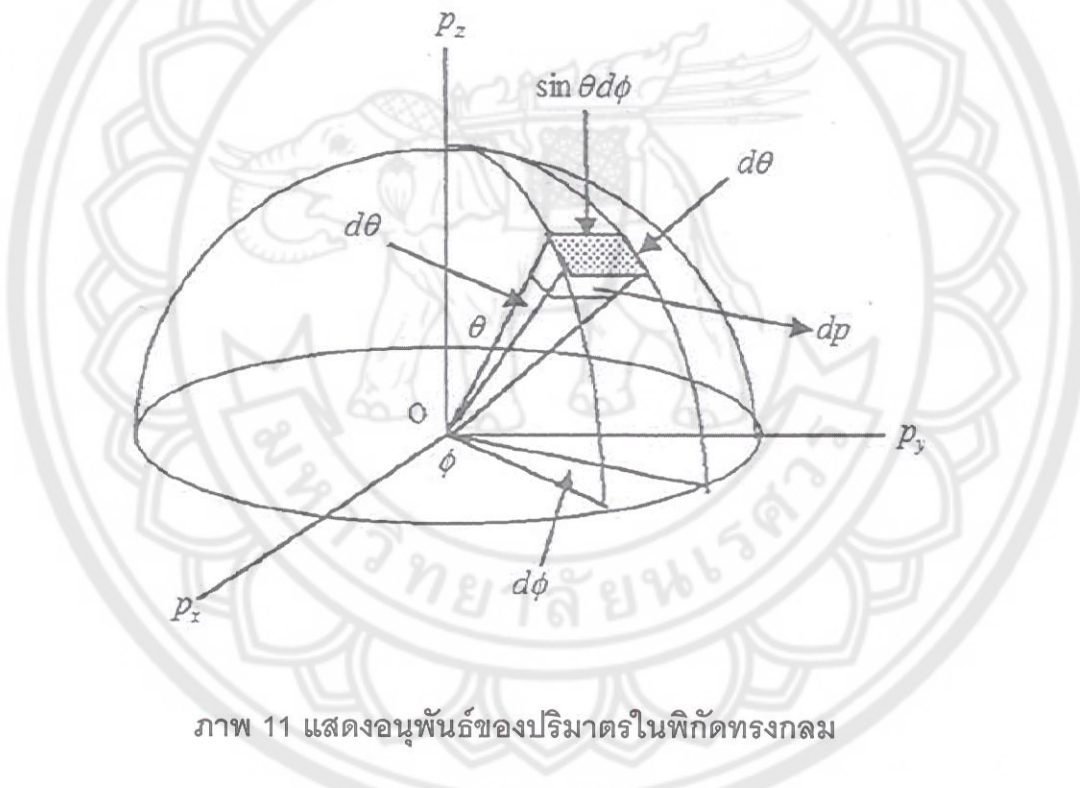
$n = 1$ มีค่า b ได้ 1 ค่า คือ b_1

$n = 2$ มีค่า b ได้ 3 ค่า คือ b_1, b_3, b_5

$n = 3$ มีค่า b ได้ 5 ค่า คือ b_1, b_3, b_5, b_7, b_9

ภาคตัดขวางของการเกิดอนุภาค K^+

อนุพันธ์ของปริมาตร



ภาพ 11 แสดงอนุพันธ์ของปริมาตรในพิกัดทรงกลม

ปริมาตรเล็กๆ ในปริภูมิของโมเมนตัมในพิกัดทรงกลม (dp) จะเขียนได้เป็น

$$dp \sin q dq df \quad (2.88)$$

เมื่อ $df = 3.6' \frac{p}{180} = \frac{2p}{100} (sr)$ แทนที่ในสมการ (2.88) จะเป็น

$$\frac{dp2p \sin q dq}{100} \quad (2.89)$$

เมื่อให้ $dW = \frac{2p \sin q dq}{100}$ แทนที่ในสมการ (2.83) จะเป็น

$$dpdW \quad (2.90)$$

และจากการหาค่าพารามิเตอร์ตักษะทบทำให้ทราบว่าภาคตัดขวางรวมของการเกิดอนุภาค K^+ จะเขียนได้เป็น

$$s = P_{prob} \int_0^{b_{max}} 2pbdb$$

$$s = P_{prob} pb_{max}^2 \quad (2.91)$$

เมื่อ P_{prob} คือ โอกาสการเกิดอนุภาค K^+ และเมื่อนำสมการ (2.81) หารเทียบกับสมการ (2.80) ก็จะมีความหมายว่าเป็นการหาค่าภาคตัดขวางรวมของการเกิดอนุภาค K^+ เทียบกับปริมาตรของพื้นที่เล็กๆ ดังแสดงในสมการ

$$\frac{d^2s}{dpdW} = \frac{P_{prob} pb_{max}^2 \cdot 100}{dp2p \sin q dq}$$

$$\frac{d^2s}{dpdW} = \frac{P_{prob} pb_{max}^2 \cdot 100}{dp2p \sin q dq} \propto \frac{fm^2}{GeV / c.sr} \quad (2.92)$$

$$\frac{d^2s}{dpdW} = \frac{P_{prob} pb_{max}^2}{dp2p \sin q dq} \propto \frac{bran}{GeV / c.sr}$$

จากสมการ (2.92) นำสมการมาคูณกับค่า E / p^2 ดังนั้นจะได้สมการเป็น

$$\frac{E}{p^2} \frac{d^2 s}{dWdp} = \frac{E}{p^2} \frac{P_{prob} p b_{\max}^2}{dp^2 p \sin q dq} \quad \frac{\text{ex bran}}{\text{GeV}^2 c^{-3} \text{sr}} \quad (2.93)$$

เมื่อ E คือ พลังงานในศูนย์กลางมวล

p คือ โมเมนตัมในศูนย์กลางมวล

เอกสารงานวิจัยที่เกี่ยวข้อง

R. Barth, et al. [45] ได้ศึกษาขีดความสามารถในการเกิดอนุภาคเคอ่อนและแอนติเคอ่อนในการชนด้วยนิวเคลียน–นิวเคลียนของ $^{58}_{28}\text{Ni} + ^{58}_{28}\text{Ni}$ ที่พลังงาน $0.8\text{--}1.8 \text{ A GeV}$ โดยใช้หัวรัด KaoS ณ ห้องปฏิบัติการ GSI Darmstadt [46] โดยเลือกสังเกตอนุภาคโปรดอน ไพรอน และเคอ่อน ที่เกิดขึ้นที่ช่วงมุมเชิงข้าว $40^\circ \leq \theta_{lab} \leq 48^\circ$ และค่าโมเมนตัมในกรอบปฏิบัติการในช่วง $0.3 \leq p_{lab} \leq 1.15$ ด้วยการวัดภาคตัดขวางของการเกิดอนุภาค K^+ และ K^- ที่ได้จะถูกประมาณด้วยพงก์ชันของ Boltzmann ที่เป็นไปตามสมการ $d^3 \sigma / dp^3 \propto \exp(-E/T)$ ที่ขึ้นอยู่กับค่าความชันส่วนกลับ (Inverse slope; T) และพลังงานของลำอนุภาค (E) โดยพบว่าค่าภาคตัดขวางของการเกิดอนุภาคจะมีค่าเพิ่มขึ้นเมื่อพลังงานจะน้อยลงของลำอนุภาคมีค่าเพิ่มขึ้น นอกจากนี้ยังพบอีกว่า อนุภาค K^+ และ K^- ที่เกิดขึ้นส่วนใหญ่จะอยู่ในกรอบศูนย์กลางมวล ภาระตัวส่วน K^+/K^- ที่ต่ำกว่าพลังงานของการชนของอนุภาค ซึ่งแต่ละขีดความสามารถในการเกิดอนุภาคในการชนด้วย $^{58}_{28}\text{Ni} + ^{58}_{28}\text{Ni}$ จะมีค่ามากกว่าการชนระหว่างนิวเคลียน – นิวเคลียนจะมีค่าที่ใกล้กับพลังงานขีดความสามารถเพิ่มขึ้นของ K^- ในสสารนิวเคลียร์

C. M. Ko and G. O. Li [47] ได้ศึกษาสมบัติของเยดรอนในสสารที่มีความหนาแน่นและได้ศึกษาการรวมผลของอิทธิพลของตัวกลางในแบบจำลองการส่งผ่านแบบสัมพัทธภาพซึ่งล้มพังร์กับกลุ่มของประจุของเยดรอนและพลังงานของสสารที่มีความหนาแน่นโดยสนา�เวกเตอร์และสเกลาร์ ด้วยการชนของไอออนหนักที่ระดับพลังงานปานกลางโดยใช้แบบจำลองของ Walecka [48] โดยแบบจำลองนี้จะอธิบายการเพิ่มขึ้นของปริมาณของอนุภาคเคอ่อน แอนติเคอ่อน และแอนติโปรดอน ในทิศตามขวาง (Transverse direction) และได้อธิบายถึงอิทธิพลของตัวกลางในการชนด้วยไอออนหนักที่เกี่ยวกับความถี่ขีดความสามารถเพิ่มขึ้นของการสร้างอนุภาคไว้ว่า ในอันตรกิริยาแบบเบริลอน-เบริลอน ค่าความถี่ขีดความสามารถเพิ่มขึ้นในกรอบการชนแบบศูนย์กลางมวลของการเกิดอนุภาค แอนติโปรดอนจะมีค่าเท่ากับ $2m_N^*$ เมื่อ m_N^* คือมวลยังผลของนิวเคลียน ความถี่ขีดความสามารถเพิ่มขึ้นของการสร้างอนุภาค แอนติเคอ่อนมีค่าเท่ากับ $m_K^* + m_{\bar{K}}^*$ และความถี่ขีดความสามารถเพิ่มขึ้นของการสร้างอนุภาคเคอ่อน มีค่าเท่ากับ $m_Y^* + m_{\bar{K}}^* - m_N^*$ ซึ่งตัวแปรที่กล่าวมาสามารถพบรู้จากอ้างอิง [48] นอกจากนี้ยัง

อธิบายว่าการเพิ่มขึ้นของภาคตัดขวางของการเกิดอนุภาคว่า การผลิตอนุภาคจะลดลงในตัวกลาง เนื่องจากความถี่ซึ่ดเริ่มของการเกิดอนุภาคที่ลดลง ค่าภาคตัดขวางของการเกิดอนุภาคมีค่าเพิ่มขึ้น เช่นเดียวกับการเพิ่มขึ้นของปริภูมิเฟส ซึ่งผลของค่าภาคตัดขวางของการเกิดอนุภาคที่ได้พบได้จาก อ้างอิง [49]

Ch. Hartnack, et al. [50] ได้ศึกษางานวิจัยเรื่อง “Modeling the many-body dynamics of heavy ion collisions: Present status and future perspective” ซึ่งได้อธิบาย ส่วนของการศึกษาสมการสถานะนิวเคลียร์ในสารที่มีความหนาแน่น ว่าคุณสมบัติของสาร นิวเคลียร์ในสภาพสมดุลสามารถอธิบายได้จาก ตัวแปร 2 ตัว ได้แก่ ความหนาแน่นและอุณหภูมิ สำหรับค่าความดัน (P) ในสมการสถานะจะหาค่าตัวแปรนี้ได้จากการคำนวณพันธ์ทาง เทอร์โมไดนามิกส์สมการสถานะนิวเคลียร์ในนิวเคลียร์ฟิลิกส์แทนด้วย พลังงานต่อเบริอ่อน แทนด้วย E ซึ่งเป็นพังก์ชันของความหนาแน่นและอุณหภูมิ สมการความลับพันธ์ของพลังงานและ ความดัน แทนด้วย $P = \rho^2 \partial E / \partial \rho|_{S=const}$ โดยกำหนดให้ S คือค่าเอนโทรปี และ ค่า Compressibility (K) จะมีค่าเท่ากับ $K = 9\rho^2 \partial^2 / \partial \rho^2 (E/A)$

A. B. Larionov and U. Mosel [51] ศึกษาอนุภาค K^+ ในการชนแบบนิวเคลียส- นิวเคลียส ที่ระดับพลังงาน 1–2 A GeV โดยใช้แบบจำลองการส่งผ่านที่ใช้แบบแนวคิดแบบ Boltzmann – Uehling – Uhlenbeck (BUU) และทดลองวัดภาคตัดขวางของการเกิดอนุภาค K^+ เทียบกับโมเมนตัมในกรอบปฏิบัติการ ด้วยการชนของ $^{197}_{79}\text{Au} + ^{197}_{79}\text{Au}$ ที่ระดับพลังงาน 0.96 A GeV ที่มุ่งเน้นชี้ว่าต่างๆ กัน พบว่า ภาคตัดขวางของการเกิดอนุภาค K^+ ที่คำนวณได้จาก แบบจำลอง BUU มีค่ามากกว่าค่าที่ได้จากการทดลองในเอกสารอ้างอิง [46] เมื่อไม่คิดค่าศักย์ของ K^+ ออกจากนี้เมื่อทำการคำนวณค่าศักย์ที่ประมาณค่าโดย Brown กับ Rho และ Ko กับ Li [37] ค่าภาคตัดขวางของการเกิดอนุภาค K^+ ที่คำนวณได้ทางทฤษฎี จะมีค่าลดลง และพบว่าเมื่อค่า โมเมนตัมในกรอบปฏิบัติการ จะมีค่าลดคล้อยกับผลการทดลองในเอกสารอ้างอิง [29] และ เมื่อค่าโมเมนตัมมีค่าเพิ่มขึ้นค่าภาคตัดขวางรวมของการเกิดอนุภาค K^+ ที่คำนวณได้มีค่าสูงกว่า การทดลองเล็กน้อย

A. Forster, et al. [55] ศึกษารูปแบบของการปลดปล่อยอนุภาค K^+ และ K^- จากการชน ของ $^{197}_{79}\text{Au} + ^{197}_{79}\text{Au}$, $^{58}_{28}\text{Ni} + ^{58}_{28}\text{Ni}$ และ $^{12}_{6}\text{C} + ^{12}_{6}\text{C}$ ที่พลังงาน 1.50, 1.93 และ 1.80 A GeV ตามลำดับโดยใช้หัววัด Kaon Spectrometer (KaoS) ที่ห้องปฏิบัติการ GSI รายละเอียดของ การศึกษานั้นประกอบไปด้วย มัลติพลิชิตี้ (multiplicity) ค่าพารามิเตอร์ของความชันส่วนกลับ (inverse slope parameter) และค่าไอโซทรอปิกในรูปแบบของการปลดปล่อยเชิงมุมเทียบกับ

พังก์ชันของการชนแบบในระบบศูนย์กลางมวล และเมื่อทำการเปรียบเทียบรูปแบบการส่งผ่านที่วัดจากปริมาณของอนุภาค K^+ ที่เกิดขึ้นพบว่า ผลที่ได้จะสอดคล้องกับสมการสถานะนิวเคลียร์แบบอ่อน (soft EOS) เท่านั้น นอกจากนี้ยังพบอีกว่าการเกิดอนุภาค K^+ ที่ช่วงพลังงาน 1-2 A GeV จะแสดงโดยปฏิกิริยาการแลกเปลี่ยนอนุภาค $K^-N \rightarrow \pi Y (Y = A, \Sigma)$ ซึ่งนำไปสู่การคู่ควบระหว่างปริมาณของ K^+ และ K^- อย่างไรก็ตาม อนุภาคหั้งสองจะแสดงให้เห็นความแตกต่างในรูปแบบการปลดปล่อยตามเงื่อนไขต่างๆ ที่ได้กำหนดไว้

